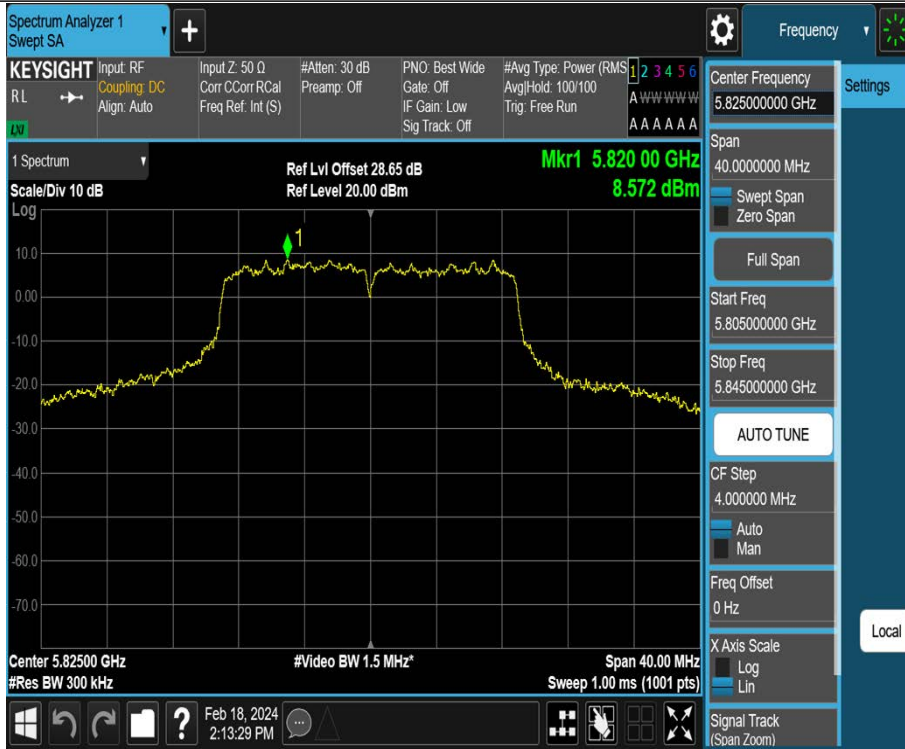


11N20MIMO_Ant1_5825



11N20MIMO_Ant2_5825



11N20MIMO_Ant3_5825



11N20MIMO_Ant4_5825



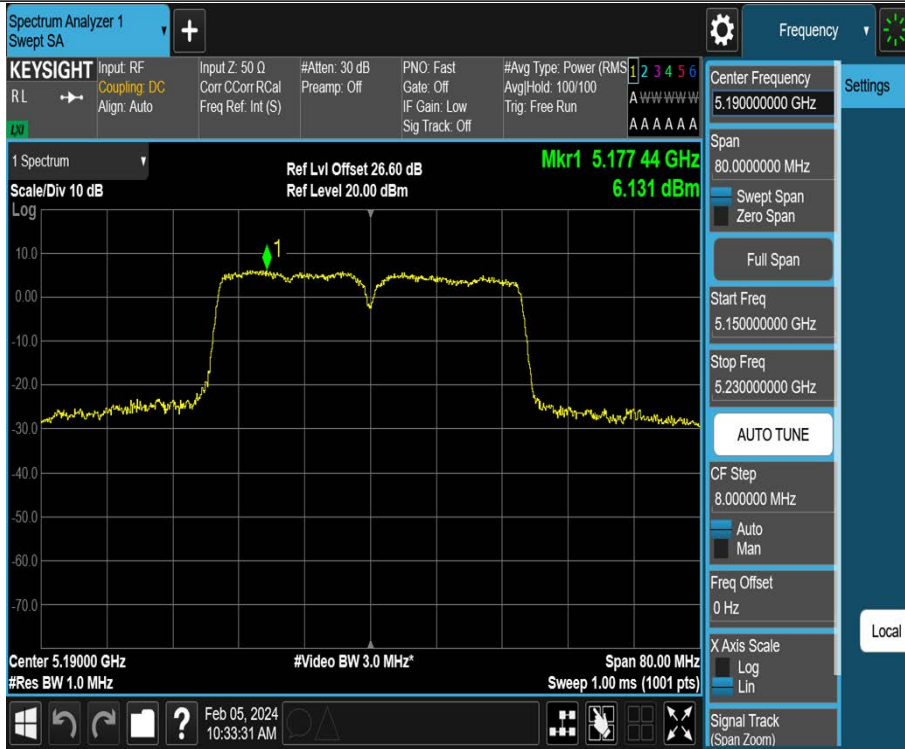
11N40MIMO_Ant1_5190



11N40MIMO_Ant2_5190



11N40MIMO_Ant3_5190



11N40MIMO_Ant4_5190



11N40MIMO_Ant1_5230



11N40MIMO_Ant2_5230



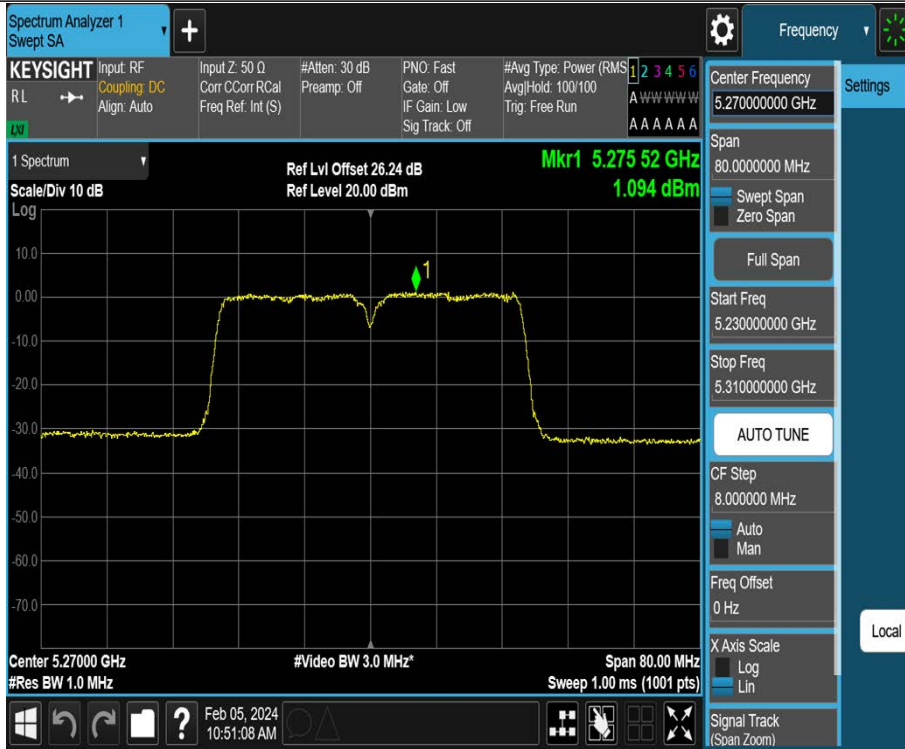
11N40MIMO_Ant3_5230



11N40MIMO_Ant4_5230



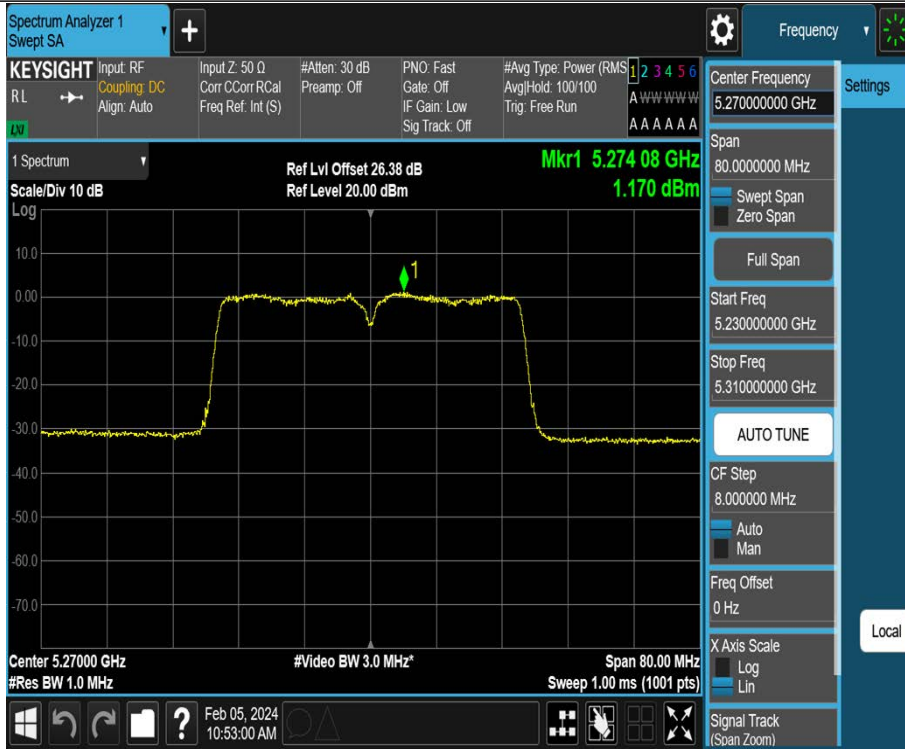
11N40MIMO_Ant1_5270



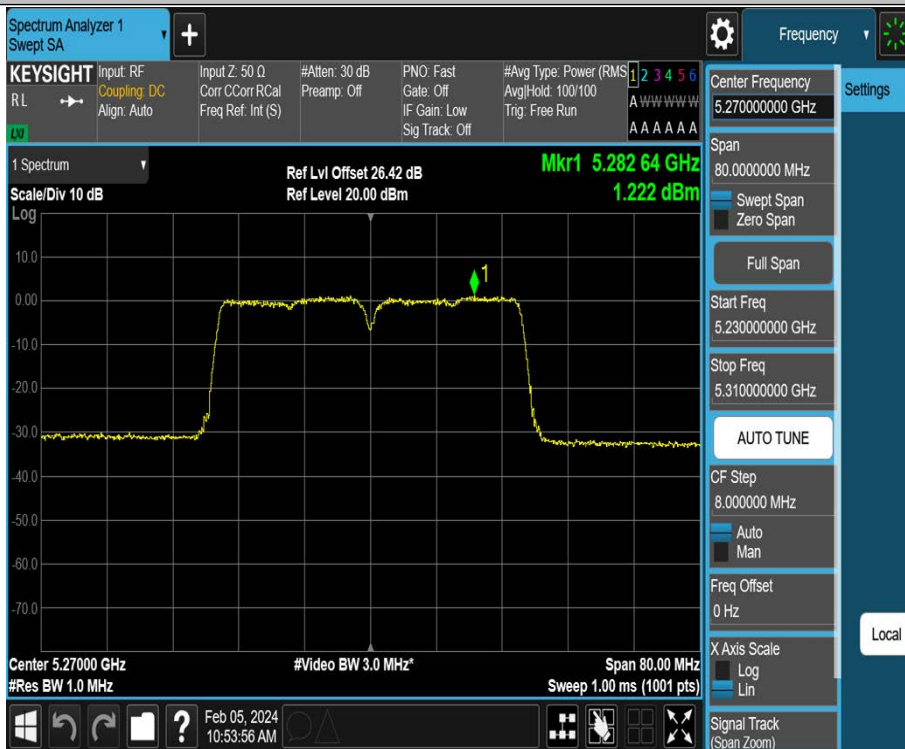
11N40MIMO_Ant2_5270



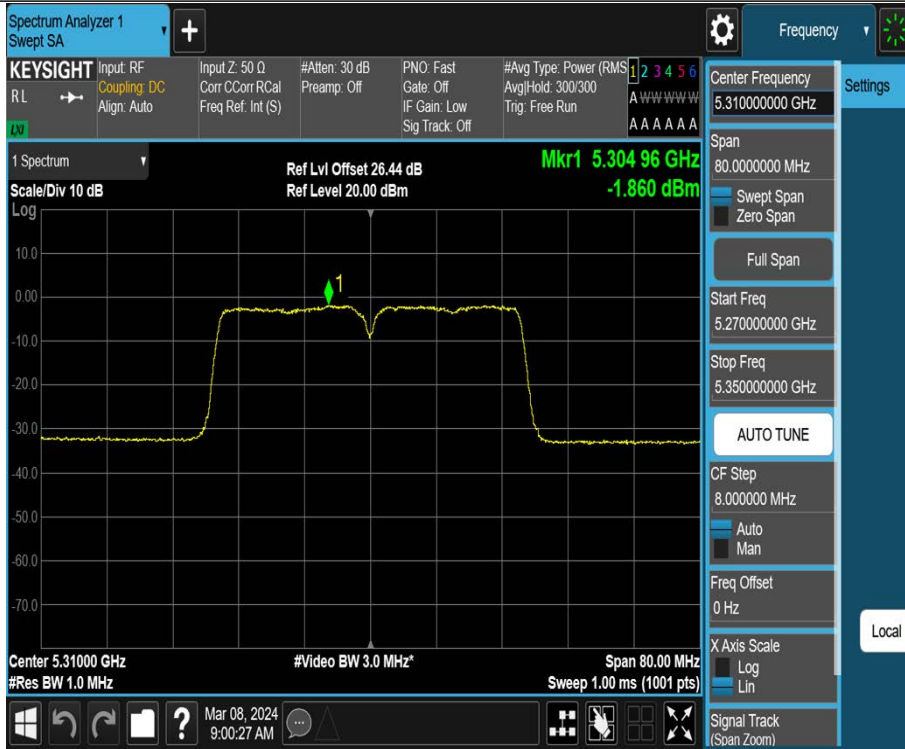
11N40MIMO_Ant3_5270



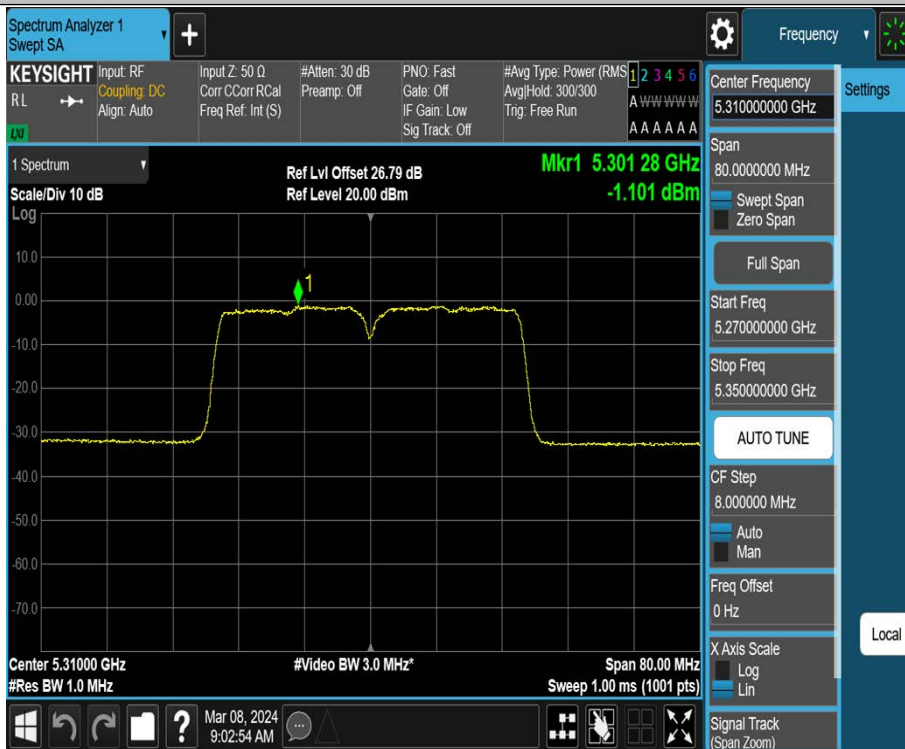
11N40MIMO_Ant4_5270



11N40MIMO_Ant1_5310



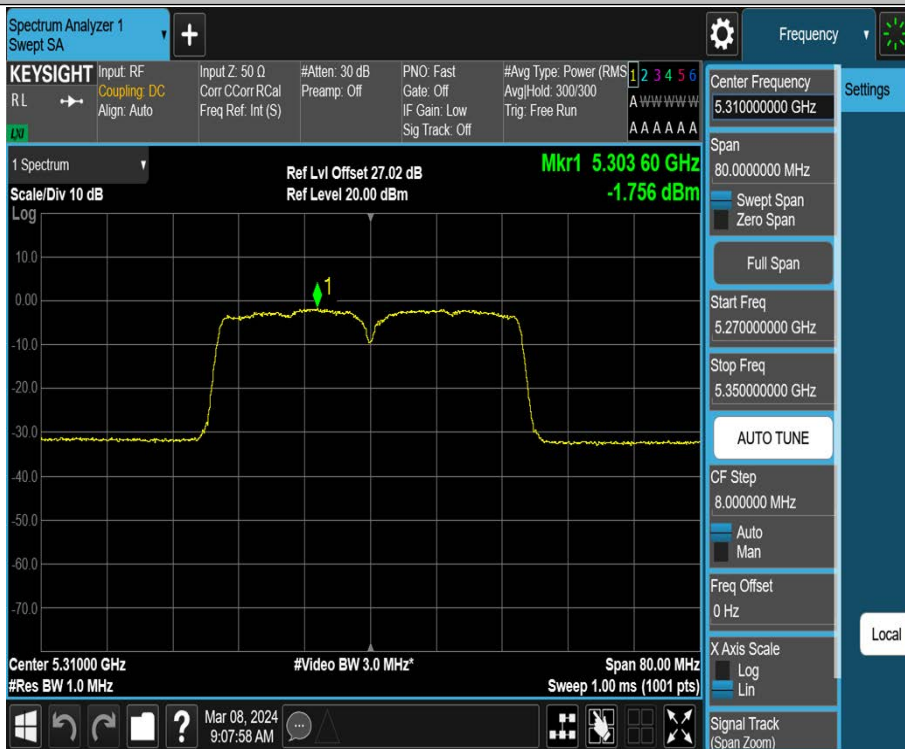
11N40MIMO_Ant2_5310



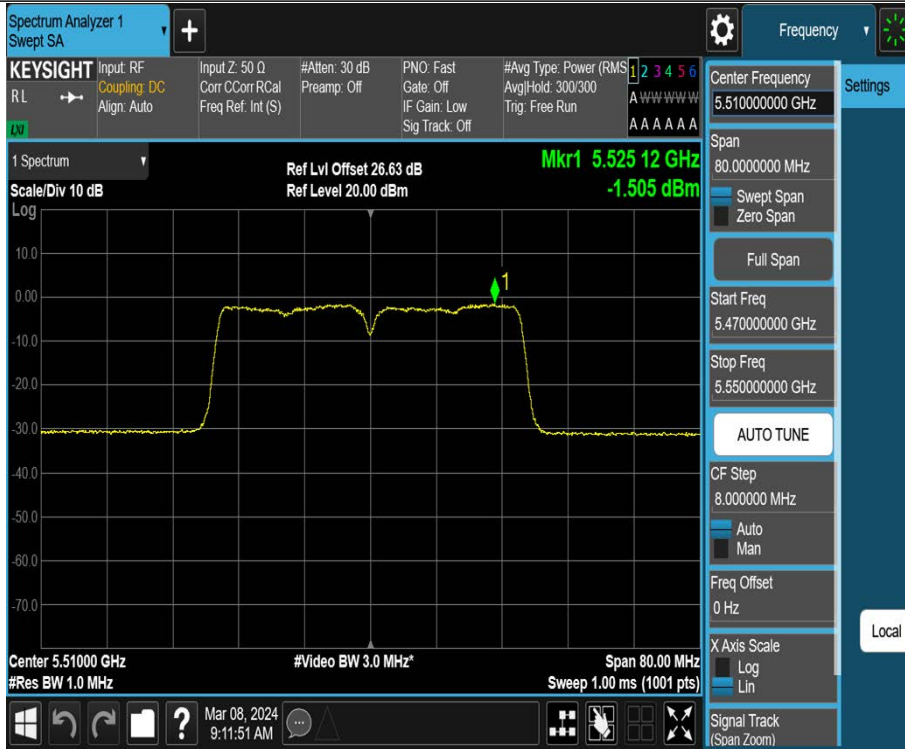
11N40MIMO_Ant3_5310



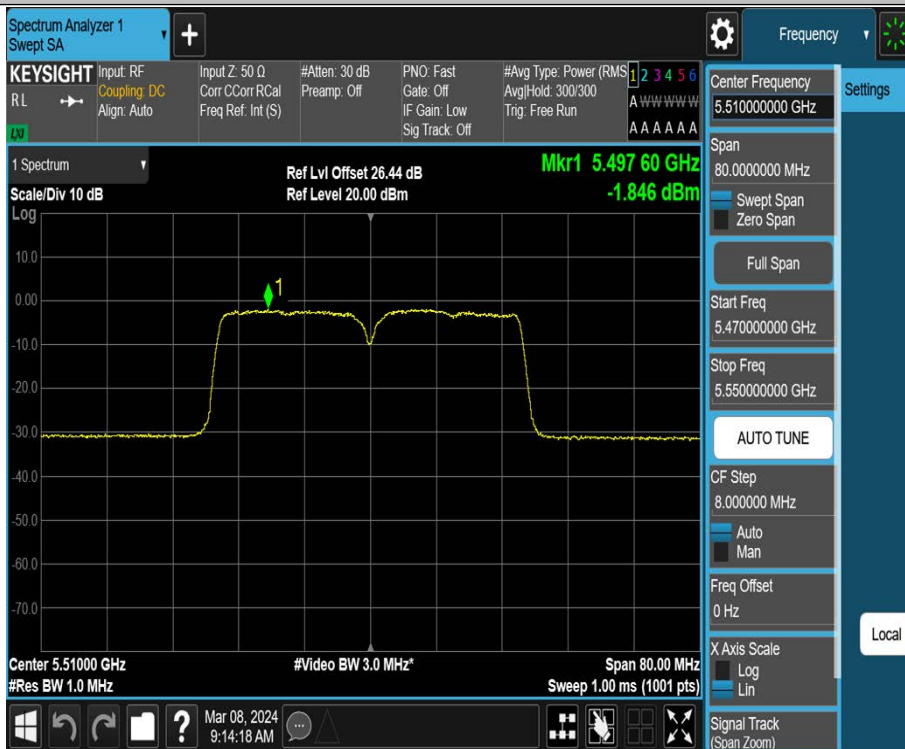
11N40MIMO_Ant4_5310



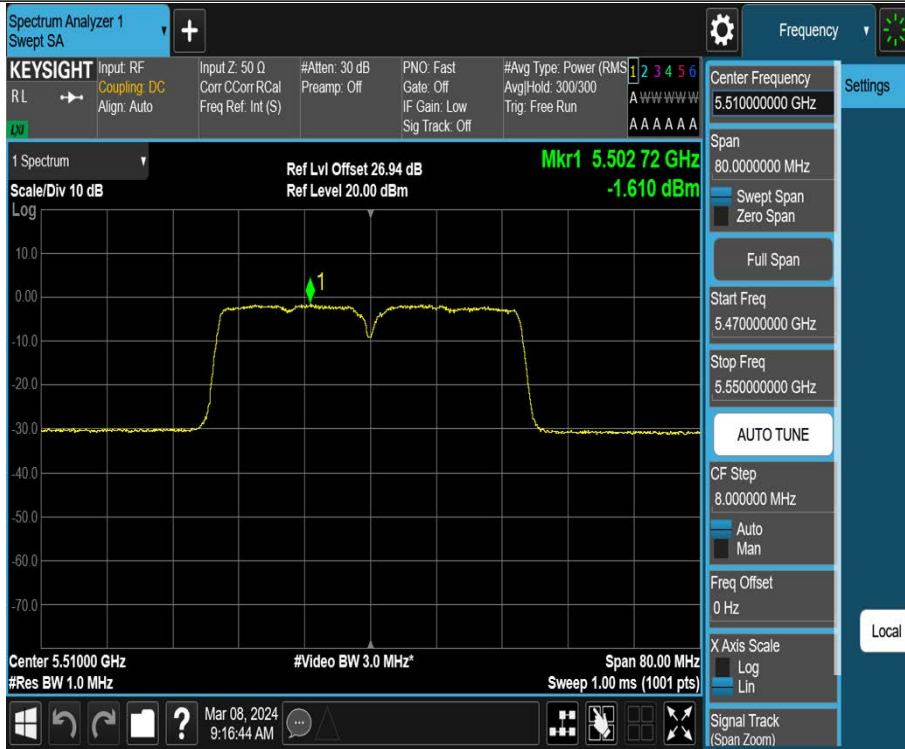
11N40MIMO_Ant1_5510



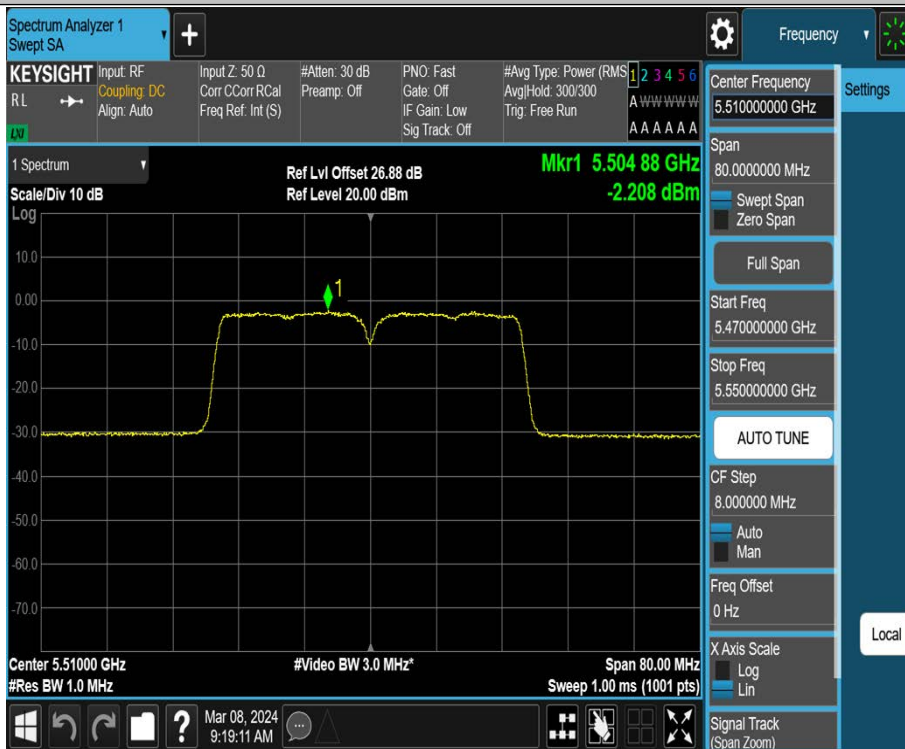
11N40MIMO_Ant2_5510



11N40MIMO_Ant3_5510



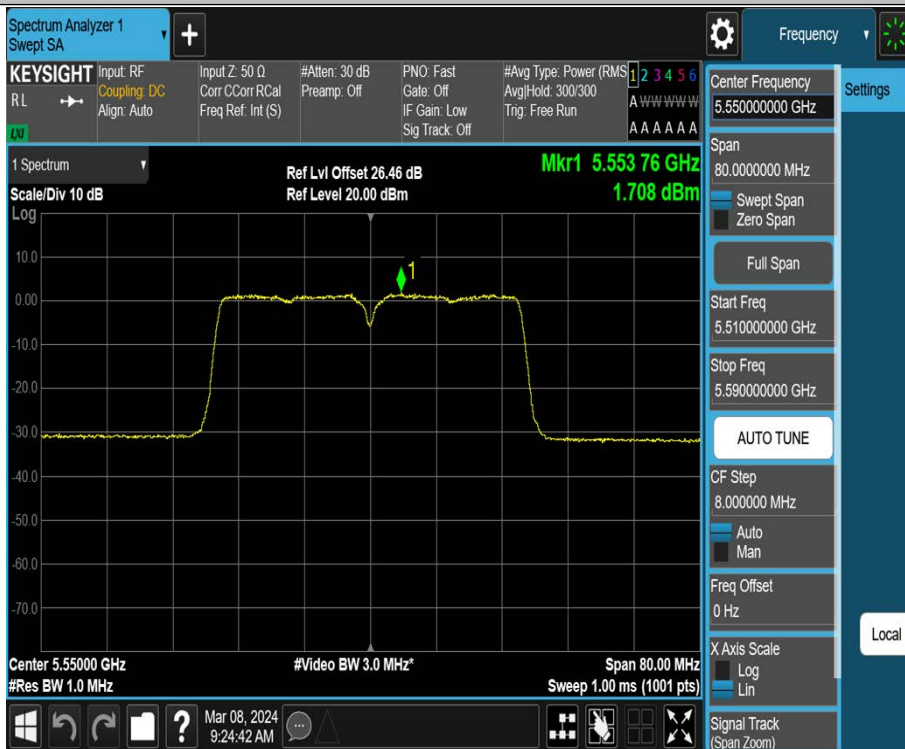
11N40MIMO_Ant4_5510



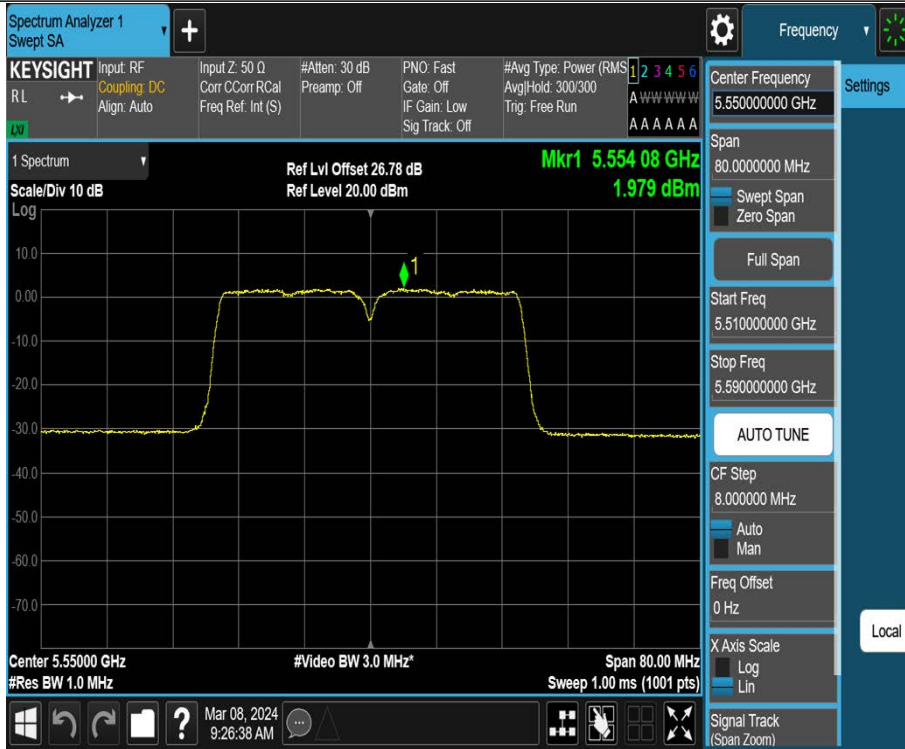
11N40MIMO_Ant1_5550



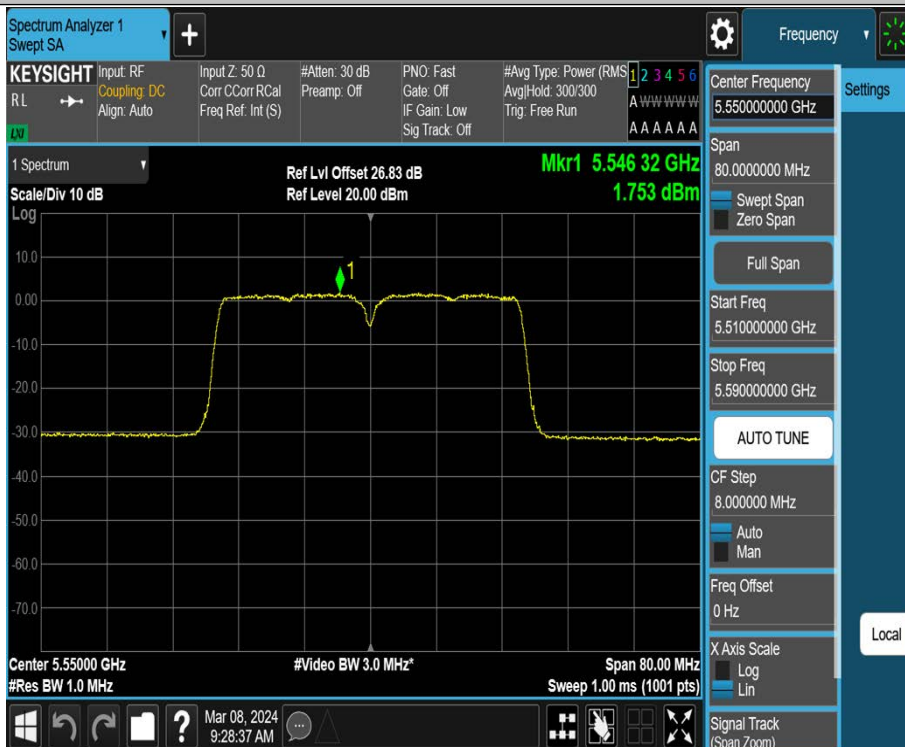
11N40MIMO_Ant2_5550



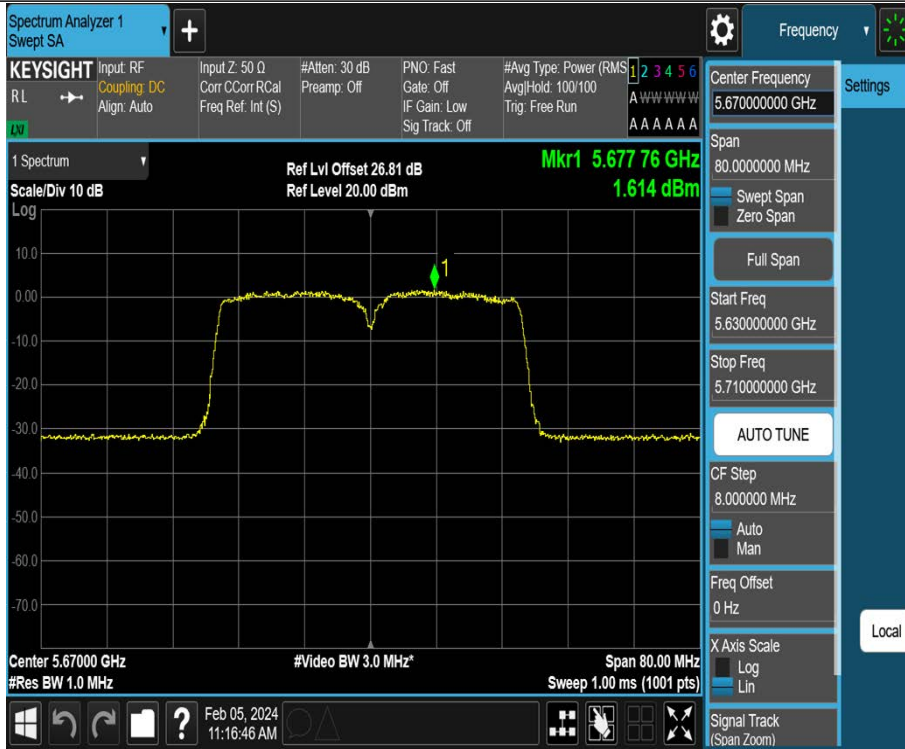
11N40MIMO_Ant3_5550



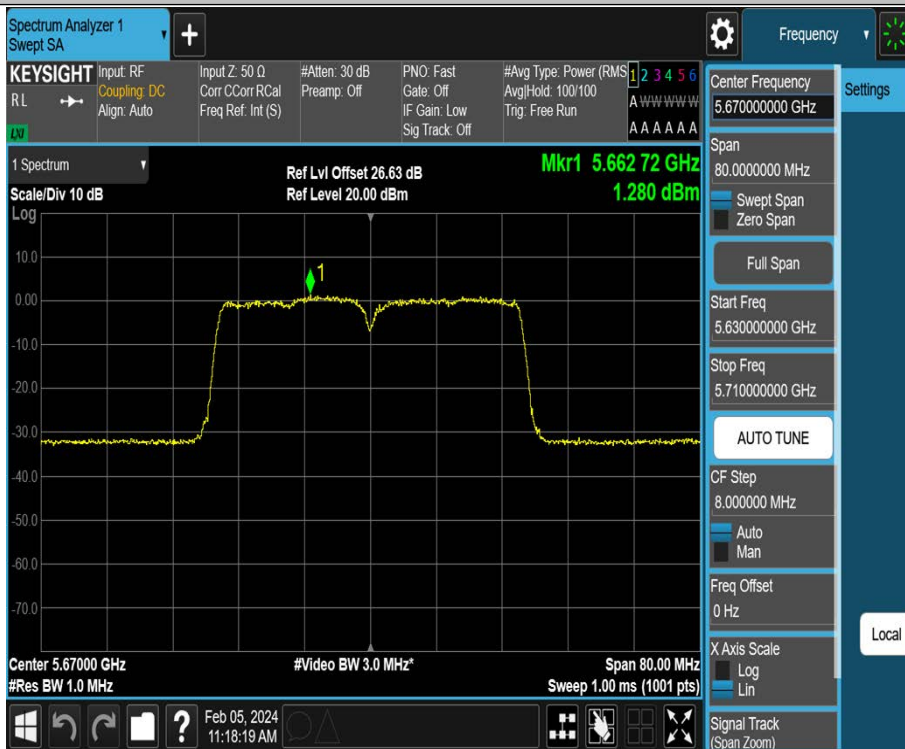
11N40MIMO_Ant4_5550



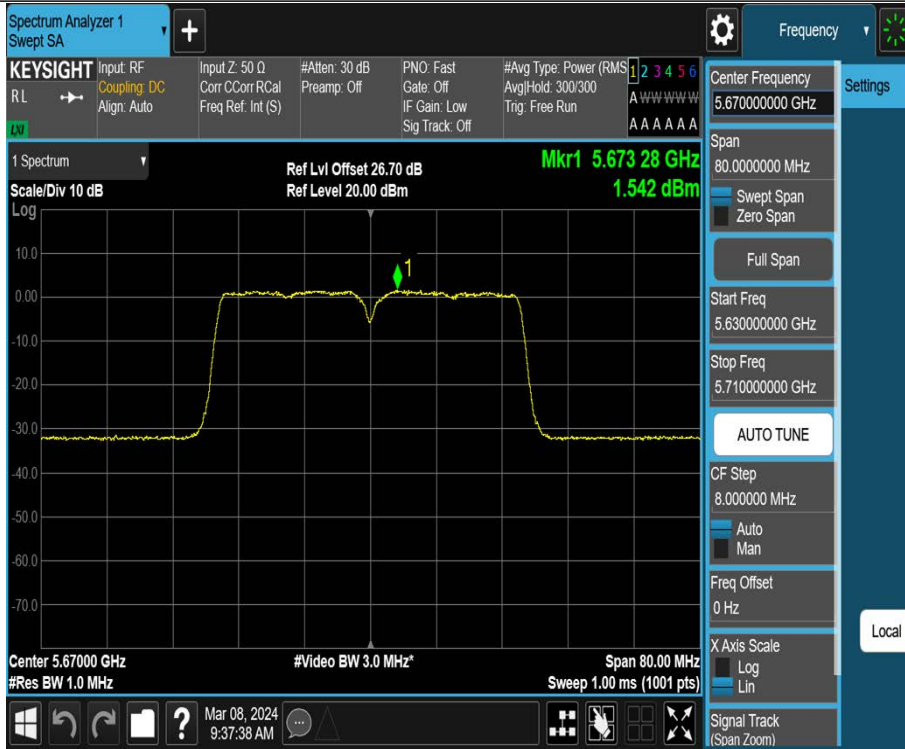
11N40MIMO_Ant1_5670



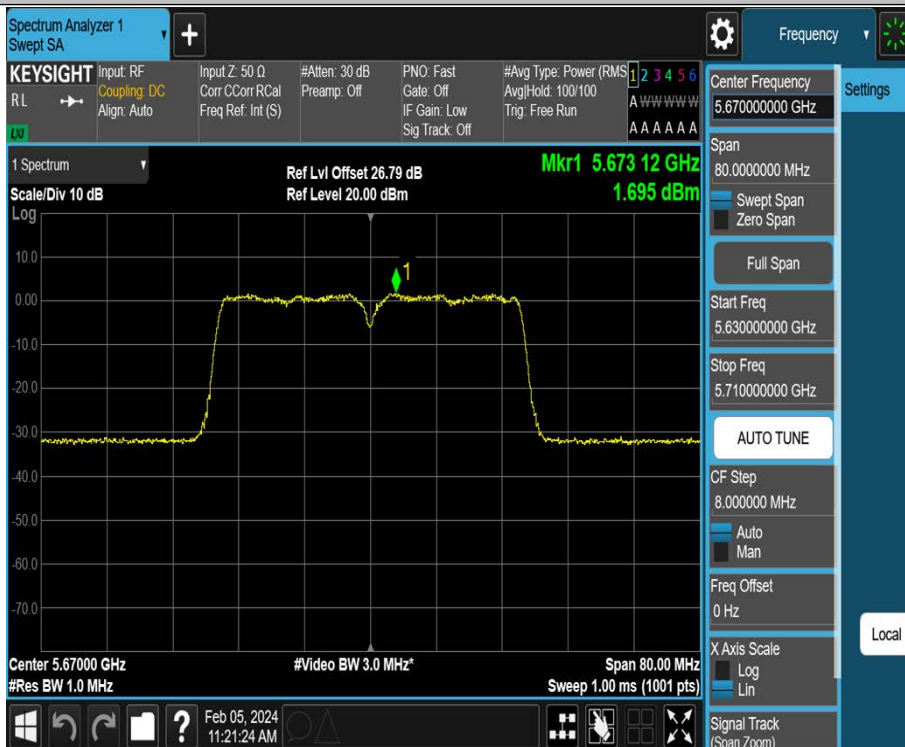
11N40MIMO_Ant2_5670



11N40MIMO_Ant3_5670



11N40MIMO_Ant4_5670



11N40MIMO_Ant1_5755



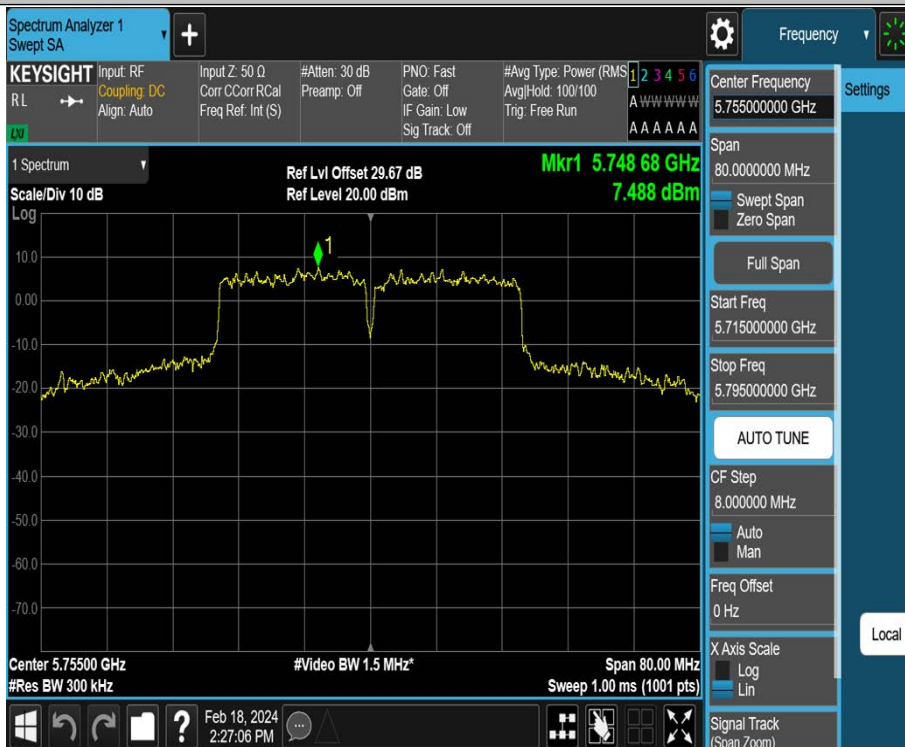
11N40MIMO_Ant2_5755



11N40MIMO_Ant3_5755



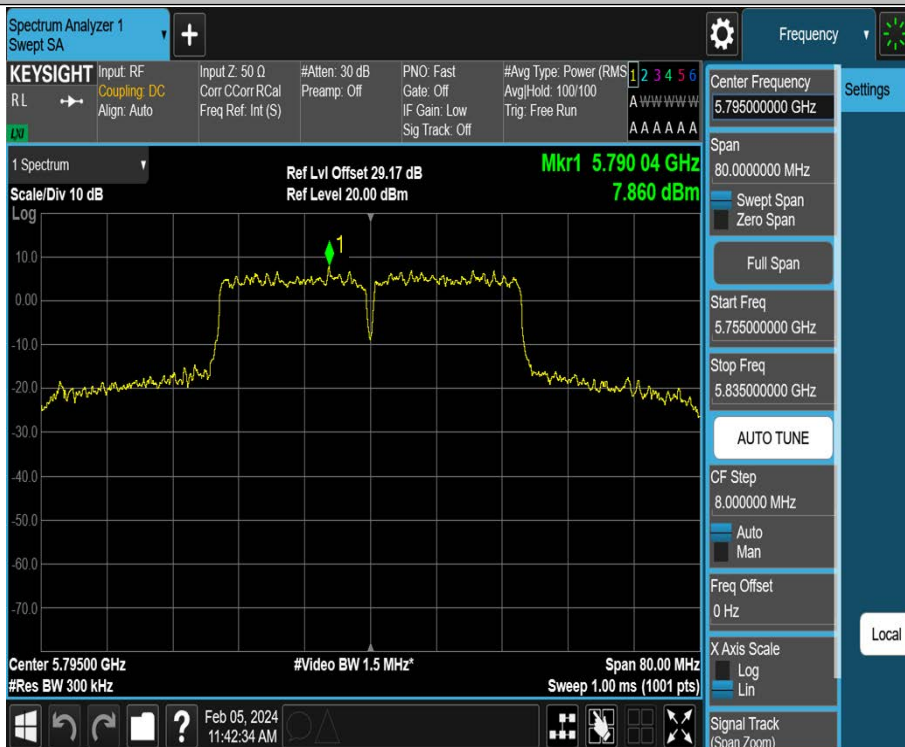
11N40MIMO_Ant4_5755



11N40MIMO_Ant1_5795



11N40MIMO_Ant2_5795



11N40MIMO_Ant3_5795



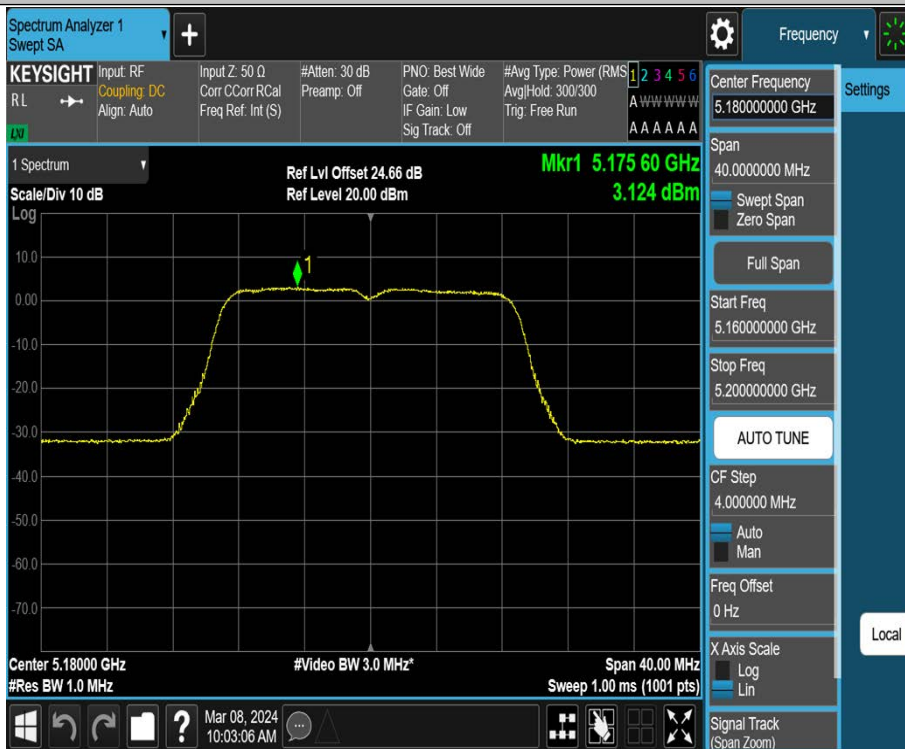
11N40MIMO_Ant4_5795



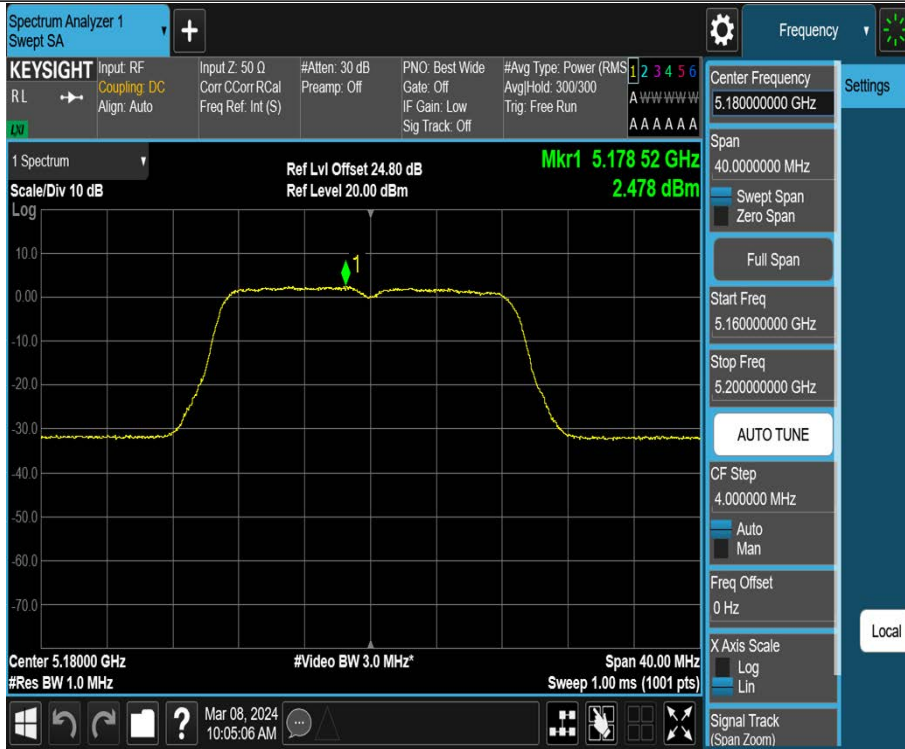
11AC20MIMO_Ant1_5180



11AC20MIMO_Ant2_5180



11AC20MIMO_Ant3_5180



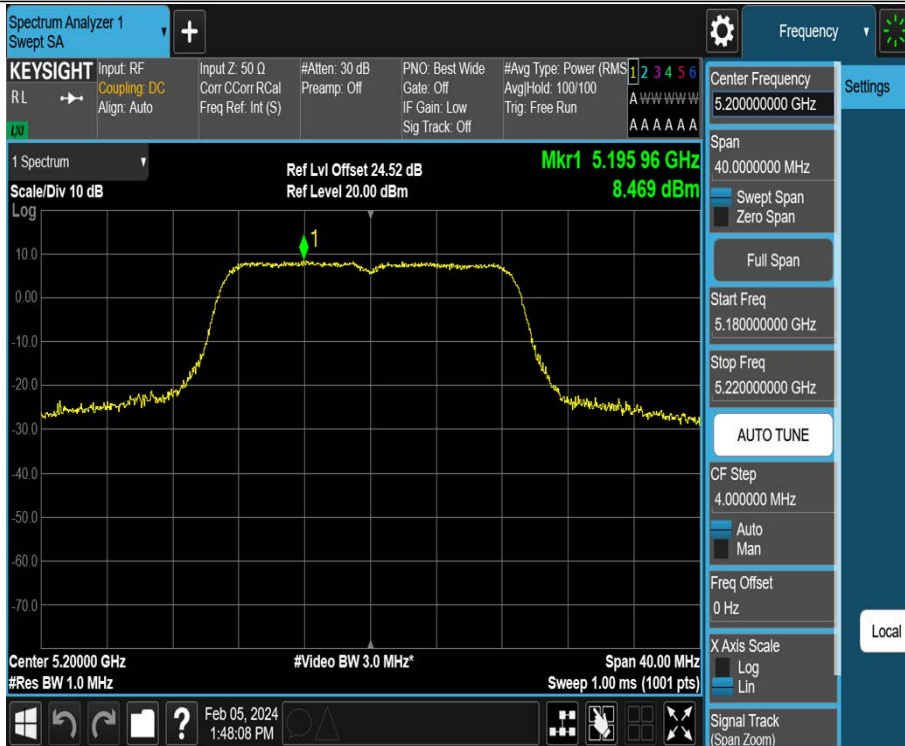
11AC20MIMO_Ant4_5180



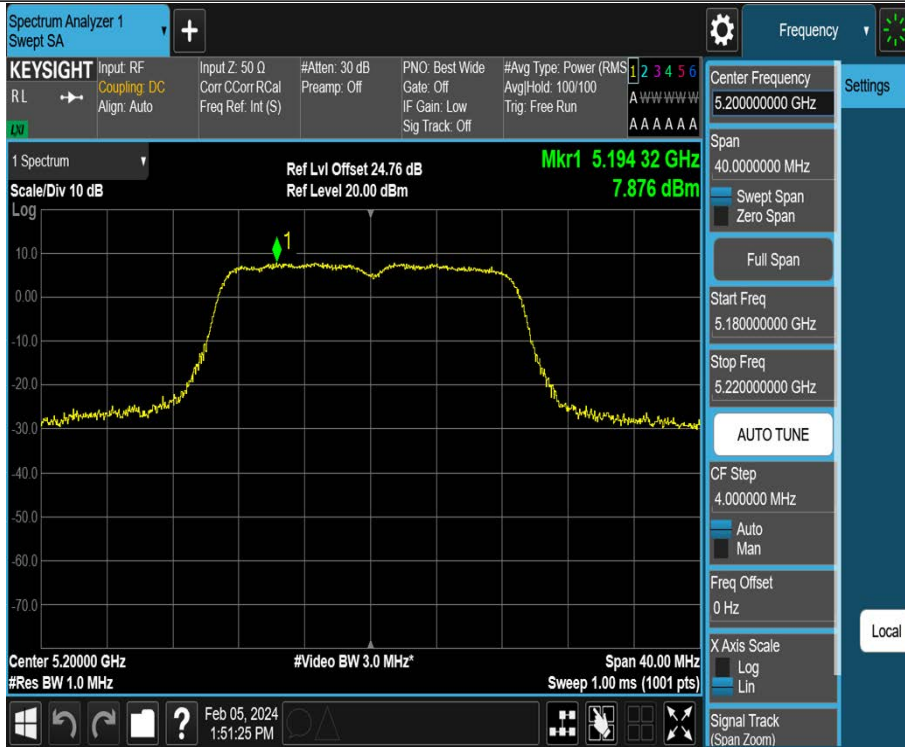
11AC20MIMO_Ant1_5200



11AC20MIMO_Ant2_5200



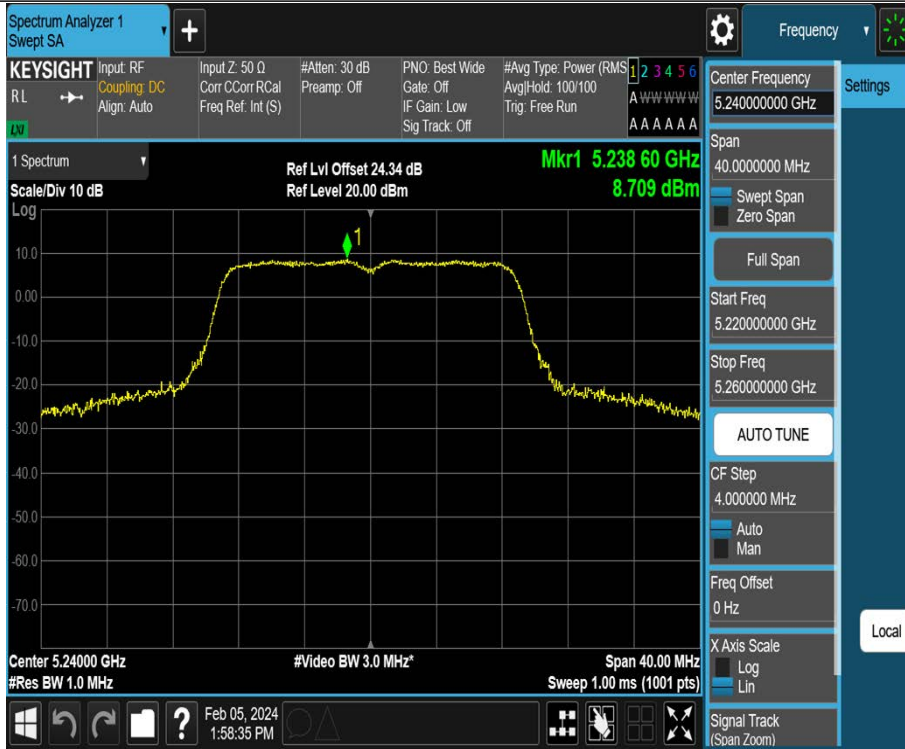
11AC20MIMO_Ant3_5200



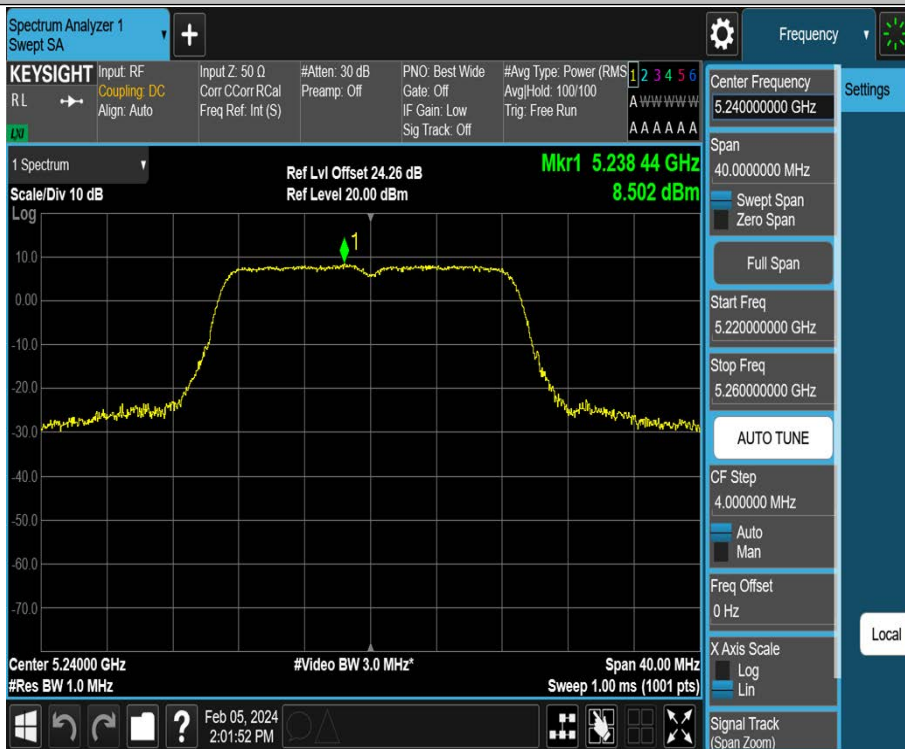
11AC20MIMO_Ant4_5200



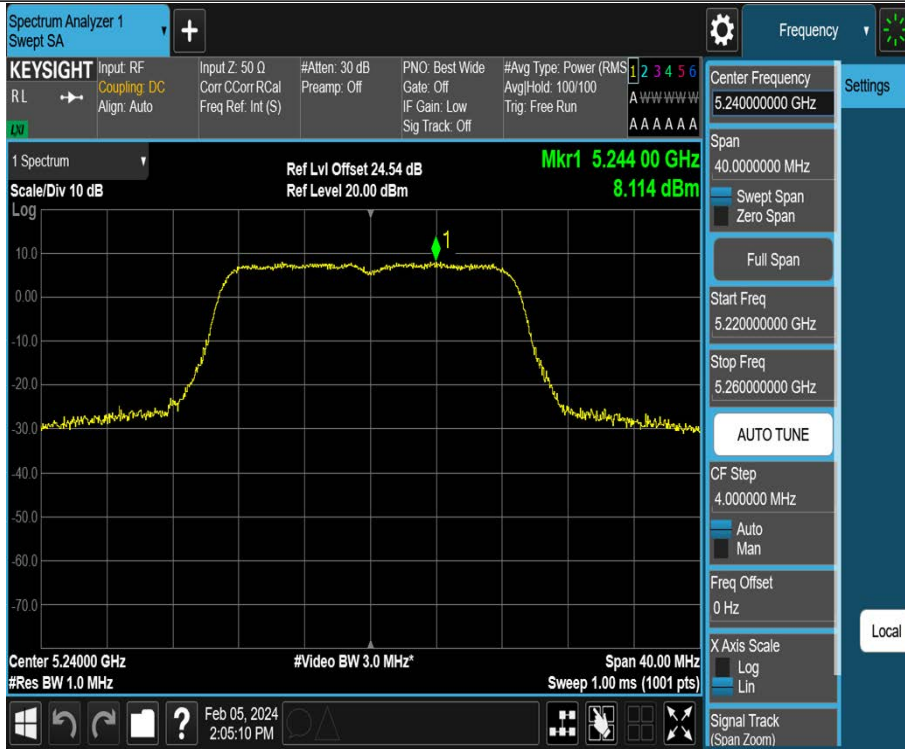
11AC20MIMO_Ant1_5240



11AC20MIMO_Ant2_5240



11AC20MIMO_Ant3_5240



11AC20MIMO_Ant4_5240



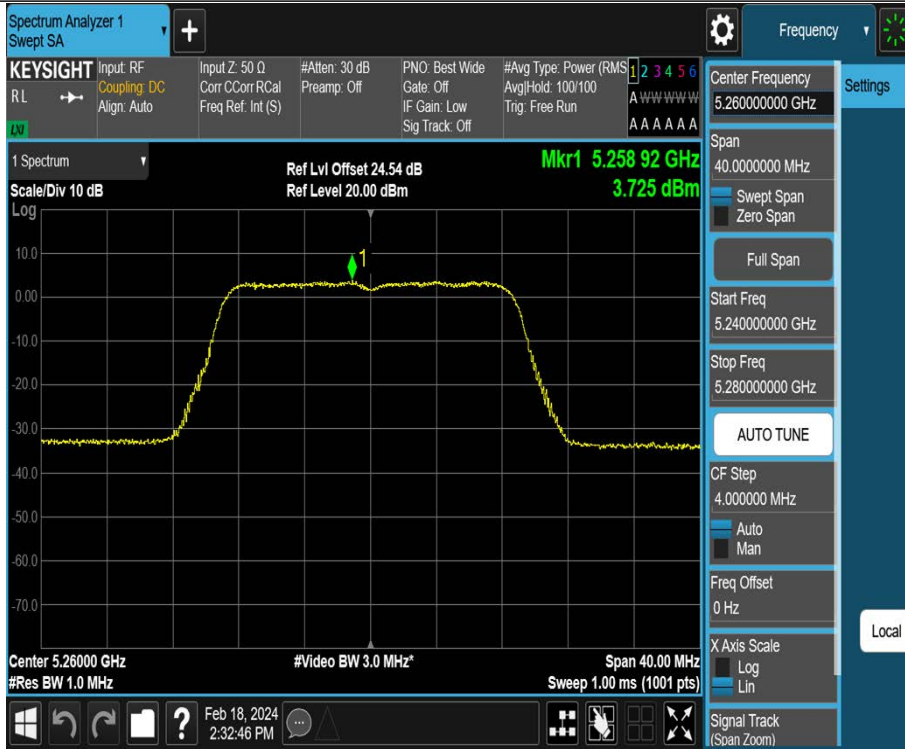
11AC20MIMO_Ant1_5260



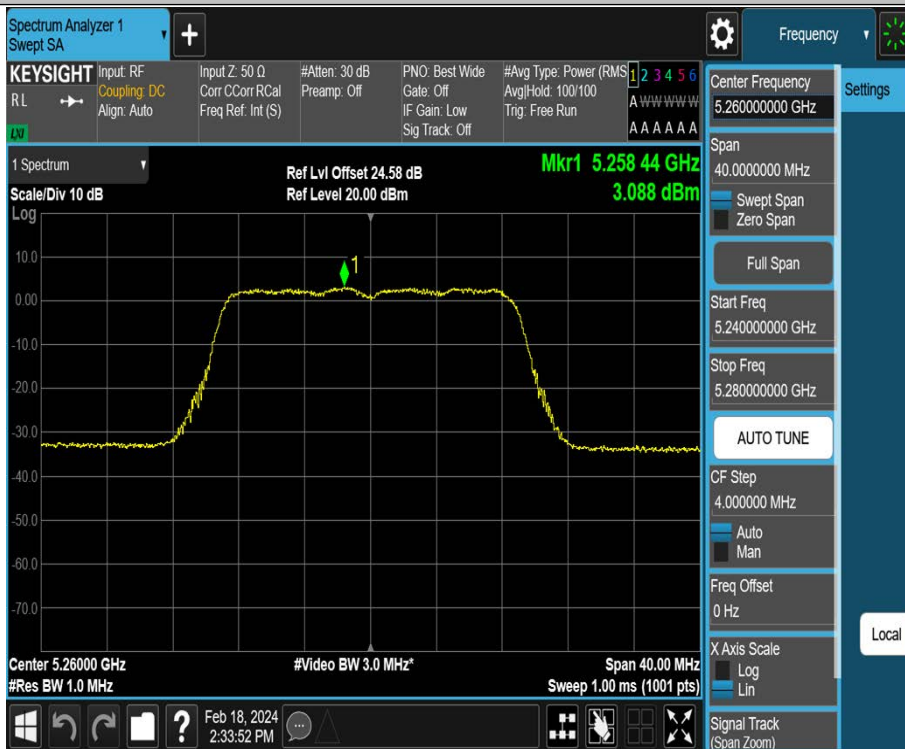
11AC20MIMO_Ant2_5260



11AC20MIMO_Ant3_5260



11AC20MIMO_Ant4_5260



11AC20MIMO_Ant1_5280



11AC20MIMO_Ant2_5280

